

核破碎反応・シミュレーション計算

小野章

東北大・理

理研ミニワークショップ「核データと核理論」2009年3月25–26日

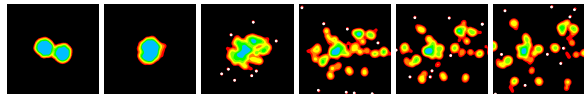
- 種々の破碎反応の微視的・動力学的記述

- 重イオン衝突（中心衝突）
- 入射核破碎反応
- 核子入射

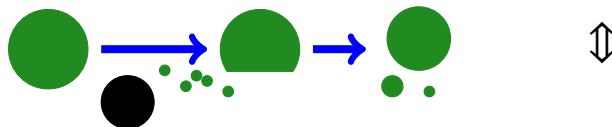
- AMD の最近の進展

- 計算の高速化（Skyrme 力）
- クラスター相関
- 熱化学平衡の記述

- 重イオン衝突（中心衝突）



- 入射核破碎反応



- 核子入射反応での破碎片生成

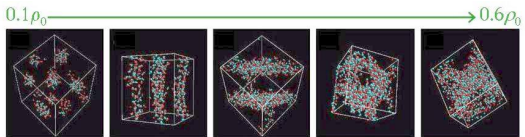
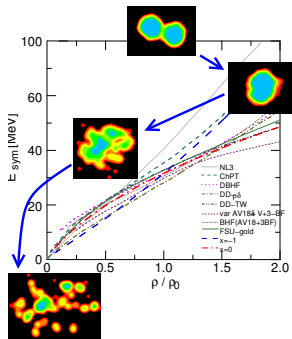
核物質の動的過程

- 平均場・状態方程式
- フロー・膨張
- 液相気相相転移

カスケード + 統計計算 (?)

応用上重要

Nuclear Matter in Nuclear Collisions and Neutron Stars



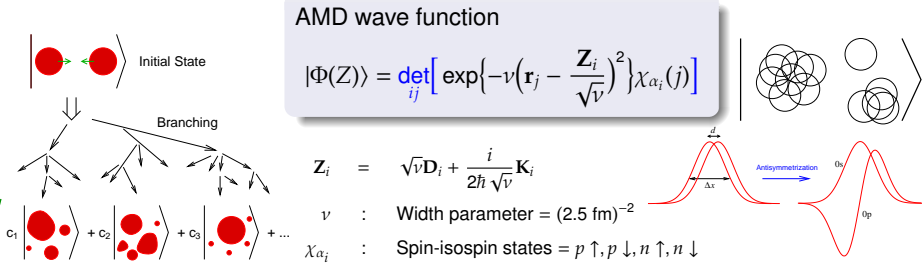
QMD simulation of nuclear pasta. G. Watanabe et al.

- Inhomogeneous. (fragments, clusters, pasta)
- Excited. (finite temperature and/or dynamic)
- Liquid-gas phase transition.

- Statistical calculations with AMD for finite systems
⇒ Relevance of equilibrium in nuclear collisions (Furuta, Ono)
- Extension of AMD for cluster correlations (Ono)
- AMD study of neutron star (Hasnaoui, Ono, Furuta, Gulminelli, Chomaz)
 - Implementation of Skyrme force in AMD
- Isospin effects etc in heavy-ion collisions



Antisymmetrized Molecular Dynamics



Stochastic equation of motion for the wave packet centroids Z :

$$\frac{d}{dt} \mathbf{Z}_i = \{\mathbf{Z}_i, \mathcal{H}\}_{\text{PB}} + \Delta \mathbf{Z}_i(t) + (\text{NN collisions})$$

- Mean field (Time evolution of single-particle wave functions)
- Nucleon-nucleon collisions (as the residual interaction)

Energy is conserved. No temperature in the equation.

Quantum effects are included.

Mean field + Quantum branching

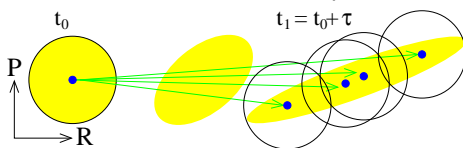
At each time t_0 , for each wave packet k, \dots

Mean field propagation $t_0 \rightarrow t_0 + \tau$ + Branching at $t_0 + \tau$ τ : Coherence time

$$t = t_0$$

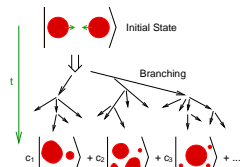
$$t = t_0 + \tau$$

$$|\mathbf{Z}_k\rangle\langle\mathbf{Z}_k| \xrightarrow{\text{Mean field}} |\psi_k\rangle\langle\psi_k| \xrightarrow{\text{Branching}} \int |\mathbf{z}\rangle\langle\mathbf{z}| w_k(\mathbf{z}) d\mathbf{z} \quad \text{for } k = 1, \dots, A$$



$$i\hbar \frac{d}{dt} |\psi_k(t)\rangle = h^{\text{HF}} |\psi_k(t)\rangle \quad \text{or} \quad \frac{\partial f_k}{\partial t} = -\frac{\partial h^{\text{HF}}}{\partial \mathbf{p}} \cdot \frac{\partial f_k}{\partial \mathbf{r}} + \frac{\partial h^{\text{HF}}}{\partial \mathbf{r}} \cdot \frac{\partial f_k}{\partial \mathbf{p}}$$

- $\tau \rightarrow 0$ (Strongest branching)
- $\tau = \tau(\rho)$ (Density-dependent)
- $\tau = \tau_{\text{NN-coll}}$ (Decoherence at NN collisions)



AMD and FMD with Skyrme force

So far AMD calculations are done with the Gogny force.

$$v_{ij} = \sum_{k=1,2} (W_k + B_k P_\sigma - H_k P_\tau - M_k P_\sigma P_\tau) e^{-(\mathbf{r}_i - \mathbf{r}_j)^2/a_k^2} + t_\rho (1 + P_\sigma) \rho(\mathbf{r}_i)^\sigma \delta(\mathbf{r}_i - \mathbf{r}_j)$$
$$\langle V \rangle = \frac{1}{2} \sum_{i=1}^A \sum_{j=1}^A \sum_{k=1}^A \sum_{l=1}^A \langle ij | v | kl - lk \rangle B_{ki}^{-1} B_{lj}^{-1} \sim A^4$$

Skyrme can be flexible and faster.

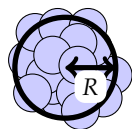
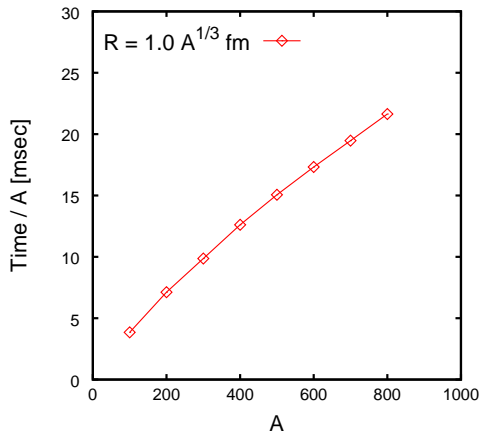
⇒ Applications to heavy systems and stellar matter

$$\langle V \rangle = \int \mathcal{V}(\rho(\mathbf{r}), \tau(\mathbf{r}), \Delta\rho(\mathbf{r}), \mathbf{j}(\mathbf{r})) d\mathbf{r} \sim A^2 V \quad (+ \epsilon A^3)$$

$$\rho(\mathbf{r}) = \left(\frac{2\nu}{\pi}\right)^{3/2} \sum_{i=1}^A \sum_{j=1}^A e^{-2\nu(\mathbf{r}-\mathbf{R}_{ij})^2} B_{ij} B_{ji}^{-1}, \quad \mathbf{R}_{ij} = \frac{1}{2\sqrt{\nu}} (\mathbf{Z}_i^* + \mathbf{Z}_j)$$

重い系に使えるか？

System size dependence of the CPU time for an evaluation of $\left\{ \frac{\partial}{\partial Z_k^*} \langle V \rangle; k = 1, 2, \dots, A \right\}$



\Leftrightarrow Naive expectation $\sim A^2 V$

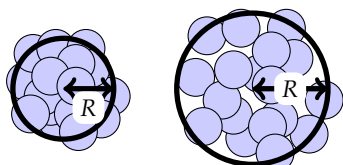
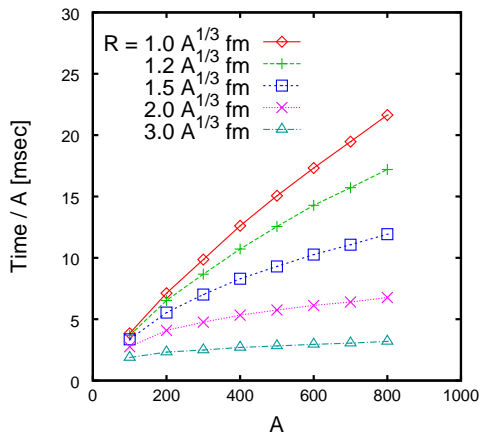
$$\langle V \rangle = \int d\mathbf{r} \mathcal{V}(\rho(\mathbf{r}), \tau(\mathbf{r}), \Delta\rho(\mathbf{r}), \mathbf{j}(\mathbf{r}))$$

$$\rho(\mathbf{r}) = \left(\frac{2\nu}{\pi}\right)^{3/2} \sum_{i=1}^A \sum_{j=1}^A e^{-(\mathbf{r}-\mathbf{R}_{ij})^2} B_{ij} B_{ji}^{-1}$$

- Mesh size $\Delta r = 0.75$ fm, $Z_\uparrow = Z_\downarrow = N_\uparrow = N_\downarrow$
- Xeon E5430 Harpertown 2.66 GHz, Using 1 of 8 cores, Almost no load by other processes

重い系に使えるか？

System size dependence of the CPU time for an evaluation of $\left\{ \frac{\partial}{\partial Z_k^*} \langle V \rangle; k = 1, 2, \dots, A \right\}$



\Leftrightarrow Naive expectation $\sim A^2 V$

$$\langle V \rangle = \int d\mathbf{r} \mathcal{V}(\rho(\mathbf{r}), \tau(\mathbf{r}), \Delta\rho(\mathbf{r}), \mathbf{j}(\mathbf{r}))$$

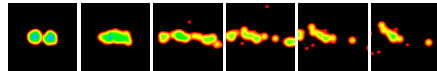
$$\rho(\mathbf{r}) = \left(\frac{2\nu}{\pi}\right)^{3/2} \sum_{i=1}^A \sum_{j=1}^A e^{-(\mathbf{r}-\mathbf{R}_{ij})^2} B_{ij} B_{ji}^{-1}$$

- Mesh size $\Delta r = 0.75$ fm, $Z_\uparrow = Z_\downarrow = N_\uparrow = N_\downarrow$

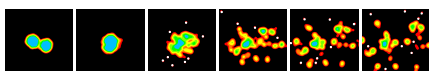
- Xeon E5430 Harpertown 2.66 GHz, Using 1 of 8 cores, Almost no load by other processes

AMD results for multifragmentation (central collisions)

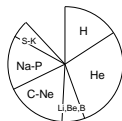
$^{40}\text{Ca} + ^{40}\text{Ca}$ at 35 MeV/u, $b = 0$



$\text{Xe} + \text{Sn}$ at 50 MeV/u, $0 \leq b \leq 4 \text{ fm}$



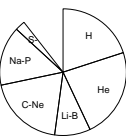
Experiment



Hagel et al.

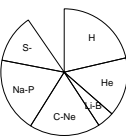
PRC50(1994)2017

AMD



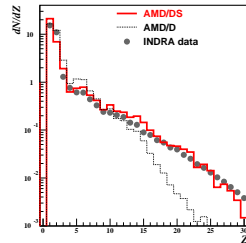
$\tau(\rho)$

AMD



$\tau_{\text{NN-coll}}$

Charge distribution



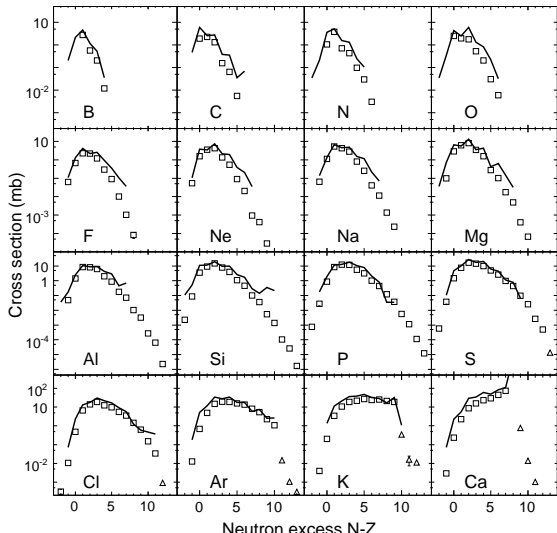
- AMD ($\tau \rightarrow 0$)
- AMD ($\tau_{\text{NN-coll}}$)

Can we reproduce different data with the same model of branching?
(Cluster correlations?)

Rare isotope production by projectile fragmentation

Mocko, Tsang, AO et al., PRC78(2008)024612.

$^{48}\text{Ca} + ^9\text{Be}$ at 140 MeV/nucleon



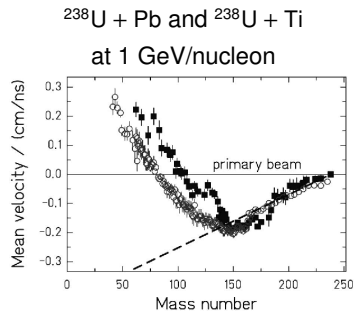
AMD (反対称化分子動力学)

核子波束の運動を解くことによる反応の
シミュレーション

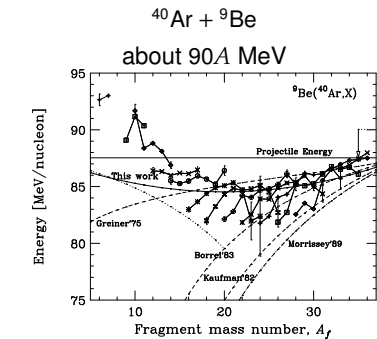
- 平均場の効果
- 二核子衝突（確率的）
- 勵起したフラグメントの統計崩壊
- AMD calc: 17,000 events
 $\Rightarrow 40 \text{ CPU} \cdot \text{days}$
(HPC Center at MSU)
- Experiment: $\sim 10^7$ events

Experimental data of velocity shift

Ricciardi et al., PRL 90 (2003) 212302.



Notani et al., PRC 76 (2007) 044605.



Dashed line: Morrissey systematics

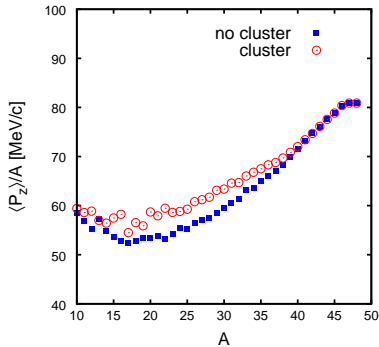
$$\Delta v_{||} \propto \Delta A$$

$$\langle v \rangle = v_{\text{beam}} + \Delta v$$

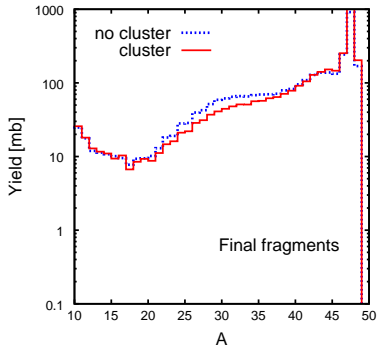


Fragment mean velocity and yield

フラグメントの速度（運動量）の平均値



フラグメントの質量数分布

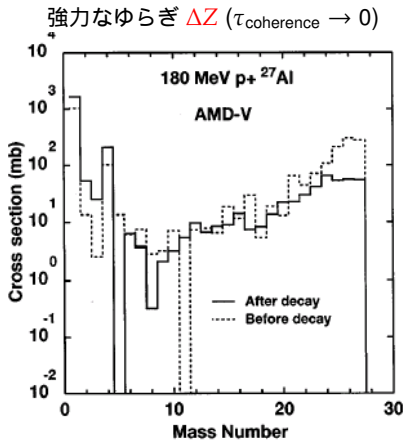
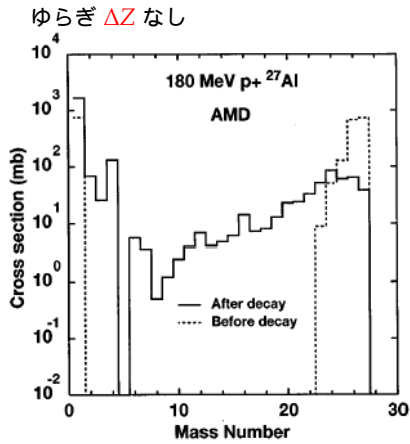


なぜ、フラグメントの速度のピークがビームより速くなり得るのか、計算では説明できていない。

核子による標的核破碎

$p + {}^{27}\text{Al}$ at 180 MeV

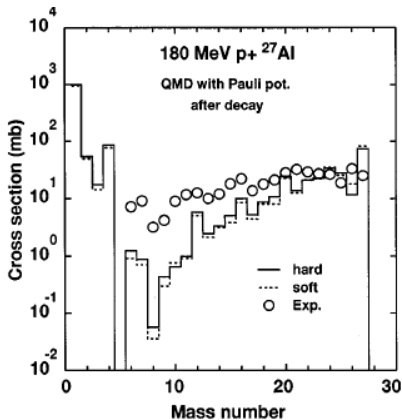
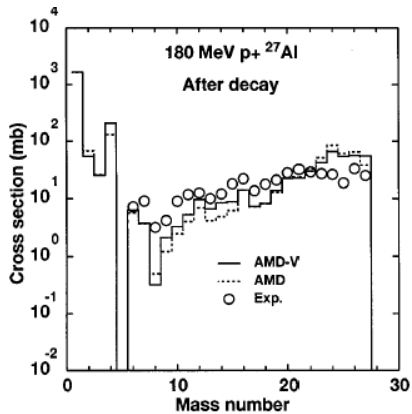
Y. Tosaka, A. Ono, H. Horiuchi, PRC60 (1999) 064613.



核子による標的核破碎

$p + {}^{27}\text{Al}$ at 180 MeV

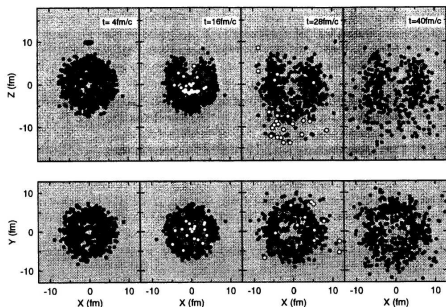
Y. Tosaka, A. Ono, H. Horiuchi, PRC60 (1999) 064613.



AMD も QMD も $A \sim \frac{1}{2}A_{\text{projectile}}$ のフラグメントを過小評価している。

高エネルギー p, α による標的核破碎

フラグメントの角度分布に側方ピーク



シミュレーション計算の実状：

- α (5 GeV/u) + Au

[Tomoyuki Maruyama et al, PTP 97 \(1997\) 579.](#)

⇒ QMD では、幅の狭い波束を使って、相互作用のレンジを小さくする必要がある。

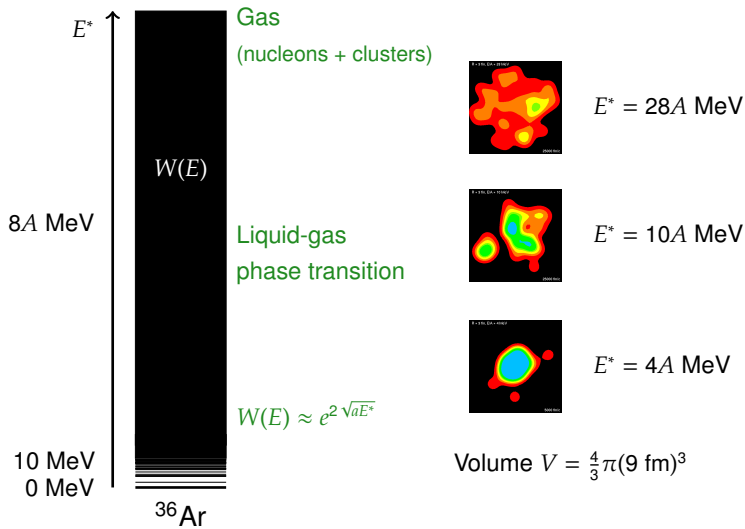
- p (11.5 GeV) + Au

[Y. Hirata et al, NPA 707 \(2002\) 193.](#)

⇒ 微視的な計算 (JAM/MF) に、パーコレーション模型を組み合わせる必要がある。

少し励起した原子核（膨張が弱い）の崩壊を微視的に記述するのは難しいのか？

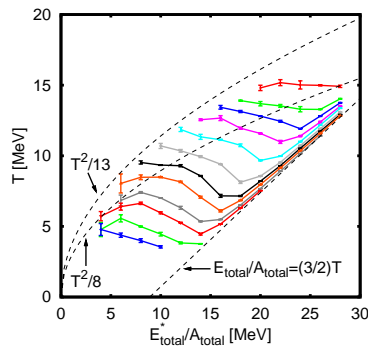
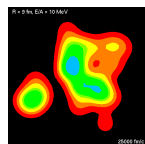
Excited low-density system



Equilibrium ensembles and caloric curves

分子動力学は励起した核子多体系（熱平衡）を適切に記述できるのか？

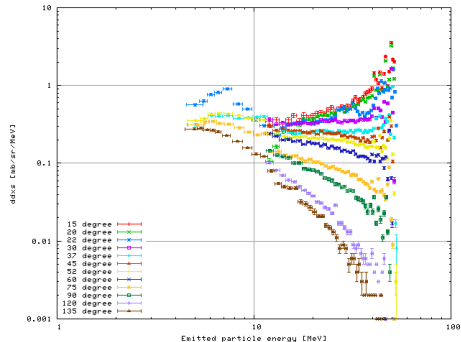
- Ono & Horiuchi
- Ohnishi & Randrup
- Schnack & Feldmeier
- Sugawa & Horiuchi
- Furuta & Ono
- Hasnaoui et al.



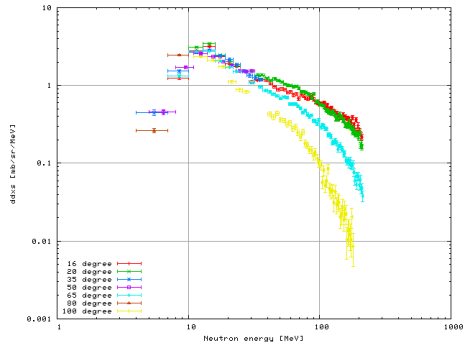
Furuta and Ono,
PRC79 (2009) 014608;
PRC74 (2006) 014612.

Production of light charged particles

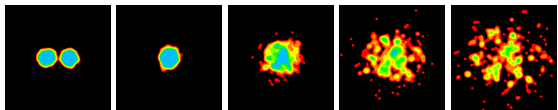
$p(62 \text{ MeV}) + \text{Fe} \rightarrow d$



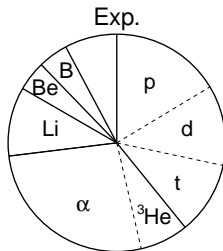
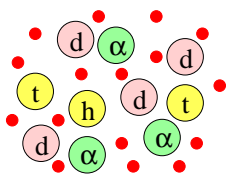
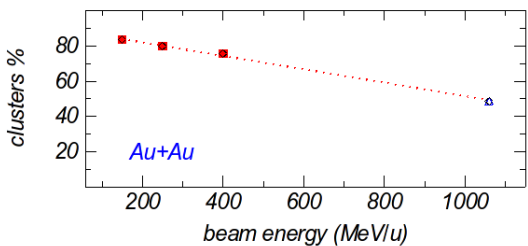
$p(1200 \text{ MeV}) + \text{Au} \rightarrow d$



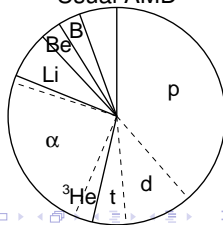
Cluster correlations in heavy-ion collisions



$^{197}\text{Au} + ^{197}\text{Au}$ at 150 MeV/u



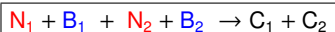
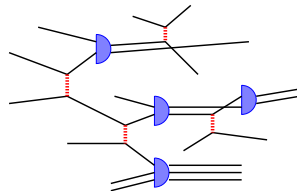
Usual AMD



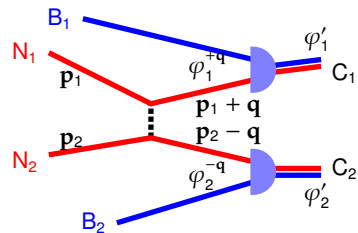
Cluster formation

During the time evolution of AMD,

- Cluster formation
- Propagation
- Breakup



- N_1, N_2 : Colliding nucleons
- B_1, B_2 : Spectator nucleons/clusters
- C_1, C_2 : N , $(2N)$, $(3N)$, $(4N)$

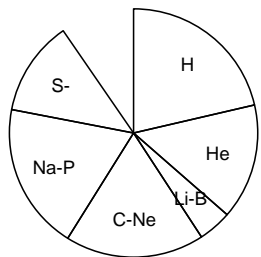


$$\frac{d\sigma}{d\Omega} = F_{\text{kin}} |\langle \varphi'_1 | \varphi_1^{+q} \rangle|^2 |\langle \varphi'_2 | \varphi_2^{-q} \rangle|^2 \left(\frac{d\sigma}{d\Omega} \right)_{\text{NN}}$$

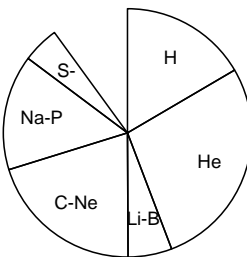
Effects of cluster correlations

$^{40}\text{Ca} + ^{40}\text{Ca}, E/A = 35 \text{ MeV}$, filtered violent collisions

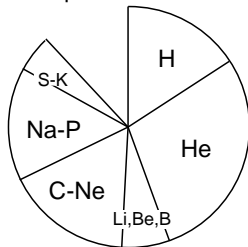
w/o cluster correlations



with cluster correlations



experiment



p	6.7
d	1.5
t	0.3
^3He	0.3
α	2.7

p	4.4
d	1.8
t	0.5
^3He	0.6
α	5.0

Effects of clusters

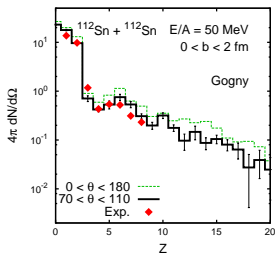
- $M_p \downarrow$
- $M_\alpha \uparrow$
- $\sum_{\text{IMF}} Z \downarrow$

Coherence time: $\tau_{\text{NN-coll}}$

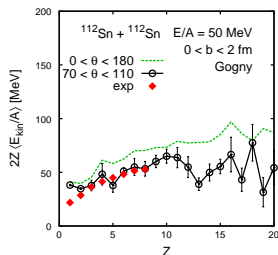
Results for Sn + Sn system

$^{112}\text{Sn} + ^{112}\text{Sn}$ at $E/A = 50$ MeV/nucleon, $0 < b < 2$ fm

With cluster correlations $\Sigma Z(70^\circ < \theta < 110^\circ) = 22.6$



n	27.3
p	10.4
d	6.4
t	3.0
^3He	1.2
α	12.2



Xe+Sn, INDRA data

p	8.4
d	4.4
t	3.3
^3He	0.9
α	10.1

multiplicities of detected particles

まとめ

AMD 計算の最近の進展

- 熱平衡（液相気相相転移）の記述の確認
- Skyrme 力の場合の計算の高速化
- クラスター相関の導入

動力学と熱力学の統一的記述へ
核物質・中性子星の計算へ
粒子ベース ⇄ クラスター相関

破碎反応の微視的記述 (AMD)

- 重イオン衝突（中心衝突）での多重破碎
- 入射核破碎反応
- 核子入射による標的核破碎

破碎しすぎる傾向
破碎が足りない傾向